

## نسبیت خاص به انضمام شتاب\*

گری هلزِر\*

ترجمه جهانشاه میرزا بیگی

پیش‌نیاز آن فرض کند. البته، این هیچ مانعی در درس حسابان محسوب نمی‌شود.

کمتر از یک دهه دیگر نظریه نسبیت خاص صداساله می‌شود؛ با وجود این، هنوز این ایده برآهمیت جایگاهی در بخش‌های کاربردی درس‌های متعارف ما پیدا نکرده است. دلیل این امر شاید تا حدی این باشد که ریاضیدانان، برخلاف فیزیکدانان، هنوز فکر می‌کنند که نظریه نسبیت خاص را باید با استفاده از تبدیلات لورنتس مطالعه کرد [۲۰، صفحه ۹۵]. رهیافت مبتنی بر تبدیلات لورنتس با کاربرد حسابان ناسازگار است و برای پاسخ دادن به سوالهایی از نوع سؤال نوروود مناسب نیست.

در اینجا به جای تبدیلات لورنتس از رهیافت هندسی استفاده می‌کنیم و برای هندسه اقلیدسی، مکانیک نیوتونی و مکانیک نسبیتی رهیافت واحدی به کار می‌بریم. برای سهولت، این بررسی به یک بعد فضا و یک بعد زمان (یعنی، حرکت در امتداد یک خط راست) محدود شده است. این محدودیت تحلیل مستقیم سؤال نوروود را، که مستلزم دو بعد فضا و یک بعد زمان است، منتفی می‌سازد اما در عین حال، موضوعات لازم برای تحلیل شهودی را به قدر کافی روشن می‌کند.

در چندین مورد به عنوان مطالبی برمی‌خوریم که می‌توان آنها را جداگانه برای یک مجموعه مسائل، متمم کاربردی یک درس، یا یک بحث کوتاه در درس معادلات دیفرانسیل یا حسابان به کار برد.

### ۲. مختصری در باره خمها در صفحه‌های اقلیدسی، گالیله‌ای و مینکوفسکیایی

این بخش به بحث کوتاهی در هندسه موردنیاز می‌پردازد و شامل اصلاحات اندکی در نظریه اقلیدسی خمهاست.

### ۱. مقدمه

ریک نوروود در شماره فوریه ۱۹۹۲ هائتلی خاطرشنان کرد که در دایره‌ای که با سرعت کافی حول محور خود می‌چرخد انتباض لورنتس-فیتزجرالد، مقدار  $\pi$  (خارج قسمت محیط بر قطر دایره) را به سه کاہش می‌دهد [۱۳، صفحه ۱۱۱]. پروفسور داریو کاستلانوس، در نامه‌ای به ویراستار در شماره زانویه ۱۹۹۳ این مجله اظهار داشت که، بر عکس، نسبت محیط به قطر افزایش می‌یابد. نه کاہش، زیرا سنجنه اندازه‌گیری محیط منقبض می‌شود [۲، صفحه ۶۹]. وی اضافه می‌کند که هندسه اقلیدسی در دستگاه مختصات چرخان صادق نیست. نوروود در شماره زوتن-زانویه ۱۹۹۳، این ناسازگاری را به یک ابهام نسبت می‌دهد: آیا یک خطکش چرخان برای اندازه‌گیری دایره ثابت به کار می‌رود یا یک خطکش ثابت برای اندازه‌گیری دایره چرخان [۱۴، صفحه ۵۷۷]؟ وی در ادامه می‌گوید که این تحلیل نادرست است زیرا تحلیل دستگاه‌های ستادار مستلزم نظریه نسبیت عام است نه نسبیت خاص. سپس سؤالی را مطرح می‌کند که نمی‌تواند به آن پاسخ دهد. فرض کنید یک قطار به قدری دراز است که تمامی یک مسیر دایره‌ای را اشغال می‌کند؛ یعنی سر و ته قطار در مسیر به هم می‌رسد. در سرعتهای خیلی زیاد طول قطار کوتاه شده مسیر بلند را اشغال می‌کند. چگونه چنین چیزی ممکن است؟

این بگو مگوگویای این واقعیت است که ابزار ریاضی لازم برای مطالعه نسبیت مقدماتی در میان ریاضیدانان، آن طور که باید، شناخته شده نیست. در واقع، برای پاسخ دادن به سوالهایی از نوع سؤال نوروود، که در بالا مطرح شد، نظریه نسبیت عام لازم نیست، بلکه فقط نظریه خمینه‌های (نیمه) ریمانی در حضور اجرام گرانشی لازم است. مطالعه نسبیت خاص بدون در نظر گرفتن شتاب به این دلیل نیست که استفاده از شتاب در این بحث قدغن است، بلکه صرفاً به این دلیل است که مؤلف نمی‌خواهد حسابان را

اگر  $v$  پایدار نباشد و  $w$  بر  $v$  عمود باشد، آنگاه بهازی یک عدد حقیقی مانند  $k$ ، به راحتی می‌توان درستی رابطه  $kJv = w$  را تحقیق کرد.

اگر  $\kappa$  فرض کنید که خم منظم  $(s)$  نسبت به طول قوس پارامتری  $s$  شود. در این صورت،  $\kappa(s) = \pm \sigma'(s)$ . چون صورتهای دوخطی از قاعده حاصل‌ضربی زیر پیروی می‌کنند

$$\langle f(s), g(s) \rangle' = \langle f'(s), g(s) \rangle + \langle f(s), g'(s) \rangle$$

نتیجه می‌گیریم  $\sigma' \perp \sigma''$ . اگر قرار دهیم  $T(s) = \sigma'(s)$  و  $N(s) = JT(s)$ ، نتیجه می‌شود که تابعی مانند  $\kappa(s)$  وجود دارد که در رابطه زیر صدق می‌کند

$$T'(s) = \kappa(s)N(s)$$

تابع  $(s)$  را اخنای  $(s)$  می‌نامند. بردار  $T(s)$ ، بودار مماس یکه و بردار  $N(s)$ ، بودار قائم یکه است.

چون  $(s) = JN(s) = -\epsilon T(s)$ ، مستتبیاً به فرمولهای فونه می‌رسیم:

$$T'(s) = \kappa(s)N(s)$$

$$N'(s) = -\epsilon\kappa(s)T(s)$$

این، برای حالت اقلیدسی ( $\epsilon = 1$ )، تعریف معمولی اخناست. حالتهای گالیله‌ای و مینکوفسکیایی را می‌توان، به ترتیب، برای هندسی کردن مکانیک نیوتونی و نسبیتی بهکار برد.

مکانیک نیوتونی. فرض کنید محل یک ذره متحرک بر روی یک خط با رابطه  $x = f(t)$  داده شود که در آن  $t$  زمان است. جهان-خط نیوتونی ذره، خمی در  $\mathbb{P}$  با ضابطه  $\sigma(t) = (t, f(t))$  است. این همان نمایش پارامتری طول قوس است زیرا  $\sigma'(t) = (1, f'(t)) = (1, f'(t))$  یک بردار یکه در  $\mathbb{P}$  است. بردار قائم واحد عبارت است از  $JT(t) = (0, 1)$ . چون  $N(t) = f''(t)$ ، تابع  $T'(t) = f''(t)$  تابع  $\kappa(t) = \kappa(s)$  اخناست. از این‌رو، در این هندسی‌سازی مکانیک نیوتونی، اخنا شتاب است.

اگر  $\sigma(t) = (x(t), y(t))$  هر خم پارامتری شده توسط طول قوس در  $\mathbb{P}$  باشد، آنگاه معادله  $|x'(t)| = |y'(t)|$  نشان می‌دهد که بهازی ثابتی مانند  $a$  داریم  $x(t) = a \pm t \cdot x$ . برای استفاده از این بحث در مکانیک، توجه خود را به خهایی بهصورت  $(a + t, f(t)) = (a, f(t)) + t(1, f'(t))$ ، یعنی به ذراتی که در زمان به جلو پیش می‌روند، محدود می‌کنیم. در این صورت به راحتی نتیجه می‌گیریم که طول قوس از  $\sigma(t_1, t_2)$  همان زمان سپری شده است.

مکانیک نسبیتی. در بحثهای نسبیت غالباً چارچوبهای مرجع مختلفی معرفی می‌شود. ما در این مقاله مختصات مفروض  $\mathbb{P}_\epsilon$  را چادجوب مرجع آزمایشگاه می‌نامیم.

۱.۲ اخنا در صفحه‌های اقلیدسی، گالیله‌ای و مینکوفسکیایی  $\mathbb{R}^2$  را با صورت دوخطی زیر در نظر می‌گیریم

$$\langle v, w \rangle = v_1 w_1 + \epsilon v_2 w_2 \quad (1)$$

که در آن  $\epsilon$  می‌تواند  $1$ ،  $0$ ، یا  $-1$  باشد. فاصله بین دو نقطه  $p$  و  $q$  با رابطه زیر تعریف می‌شود

$$\| p - q \| = |(p - q, p - q)|^{1/2}$$

اگر  $\epsilon = 0$  و  $p$  و  $q$  مختصه اول یکسان داشته باشند، فاصله (علامت‌دار) را تفاضل مختصه‌های دوم تعریف می‌کنیم؛ برای آشنازی با روش کلی، مرجع [۲۱] را ببینید. بهازی  $1 = \epsilon$ ، صفحه اقلیدسی، بهازی  $0 = \epsilon$ ، گالیله‌ای و بهازی  $-1 = \epsilon$ ، مینکوفسکیایی است. در مراجعهای [۲۱] و [۲۲] این سه صفحه را هندسه‌های مسطحه کیلی-کلاین با شاخص سهمی فاصله می‌نمند.  $\mathbb{R}^2$  با صورت دوخطی (۱) را به  $\mathbb{P}$  نشان می‌دهیم.

طول قوس خم مشتق‌ذیر  $\epsilon \rightarrow \mathbb{P}$  از  $p = \sigma(a)$  تا  $q = \sigma(b)$  را با انتگرال زیر تعریف می‌کنیم

$$L(a, b) = \int_a^b \|\sigma'(u)\| du$$

خم مشتق‌ذیر  $\epsilon \rightarrow \mathbb{P}$  از  $p$  را، اگر بهازی تمامی ها در  $I$  داریم  $\|\sigma'(u)\| \neq 0$ . خم هنظام می‌نامیم. طبق معمول، طول قوس هر خم منظم، مستقل از پارامتری‌سازی است و این خهای را می‌توان نسبت به طول قوس پارامتری کرد. برای پارامتر طول قوس  $s$  و بهازی تمامی  $s$  داریم  $\|\sigma'(s)\| = 1$ . خم منظم در صفحه اقلیدسی، خمی است با یک بودار مماس که هرگز صفر نمی‌شود. در دو مورد دیگر ویژگی منظم بودن محدود کننده‌تر است.

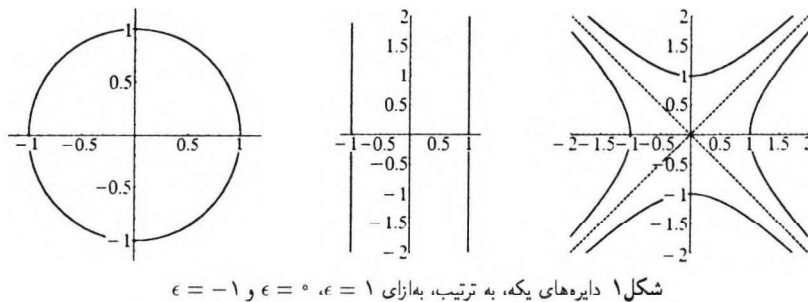
بهازی  $-1 = \epsilon$ ، بودارهای مماس باید ناصفو و ناموازی با هریک از بودارهای  $(1, 0)$  باشند. به عنوان مثال، اگر مماس بر یک خم منظم در یک نقطه، بین  $(1, 0)$  و  $(0, 1)$  قرار گیرد، آنگاه تمامی بودارهای مماس بر خم بین این بودارها قرار می‌گیرند. مخصوصاً خمهای بسته نمی‌توانند منظم باشند. اگر  $0 = \epsilon$ ، بودارهای مماس بر یک خم منظم باید ناصفو و ناموازی با  $(1, 0)$  باشند؛ و در اینجا هم خمهای بسته نمی‌توانند منظم باشند.

اگر  $\epsilon = 0$ ، بودارهای  $v$  و  $w$  در  $\mathbb{P}$  متعادل نامیده و به صورت  $w \perp v$  نوشته می‌شوند. بودارهای خوْدمتعادل را پایدید<sup>1</sup> می‌نامند. بهازی  $1 = \epsilon$ ، فقط بودار صفر پایدار است. بهازی  $0 = \epsilon$ ، بودارهای قائم و صفر، و بهازی  $-1 = \epsilon$ ، بودارهای صفر و بودارهای موازی با  $(\pm 1, 0)$  پایدارند.

تبديل خطی  $\epsilon \rightarrow \mathbb{P}_\epsilon$  :  $J$  با ماتریس زیر، که آن نیز با  $J$  نشان داده می‌شود، هر بودار  $v$  را به بودار متعادل  $Jv$  می‌برد:

$$J = \begin{pmatrix} 0 & -\epsilon \\ 1 & 0 \end{pmatrix}$$

1. isotropic

شکل ۱ دایره‌های یکه، به ترتیب، به ازای  $v = 0$ ،  $v = 1$  و  $v = -1$ 

## ۲.۲ دایره‌ها، دورانها، و تابعهای مثلثاتی

دایره مجموعه‌ای از نقاط با فاصله معین از یک نقطه ثابت، به نام مرکز، است. دایره یکه در  $\mathbb{P}^1_\epsilon$  عبارت است از مجموعه نقاط  $p$  با ضابطه  $1 = \|p\|$ . دایره‌های یکه در صفحه‌های اقلیدسی، گالیله‌ای، و مینکوفسکیایی در شکل ۱ نشان داده شده است.

دایره یکه گالیله‌ای دو شاخه دارد که عبارت اند از خطوطی قائم  $x = \pm 1$  و هر نقطه بر محور  $y$  یک مرکز است. دایره یکه مینکوفسکیایی چهار شاخه دارد که متشکل اند از یک زوج هذلولی قائم مزدوج با معادله‌های  $1 = \pm x^2 - y^2$ . مجانبهای هذلولیهای دایره یکه مینکوفسکیایی نیز در شکل ۱ رسم شده‌اند. این مجانبهای خمها نورگونه هستند. بخش  $P_1$  میان مجانبهای و شامل محور  $y$  (محور زمان مکانیک نسبیتی) مخروط نور نامیده می‌شود. بخش شامل قسمت مثبت محور  $y$  مخروط نور آینده و بخش شامل قسمت محور  $y$  مخروط نور گذشته است. بردارهای مماس بر خمها زمان‌گونه (به سمت آینده)، در صورت انتقال به مبدأ، در مخروط نور (آینده) قرار می‌گیرند. از این‌رو، می‌توان دو شاخه دایره یکه‌ای را که محور  $x$  را قطع می‌کنند به صورت خمها زمان‌گونه و دوشاخه‌ای را که محور  $y$  را قطع می‌کنند به صورت خمها فضایگونه پارامتری کرد.

برای یافتن نمایش پارامتری طول قوس دایره یکه  $[(x(\phi), y(\phi))]$ ، با معادله زیر شروع می‌کنیم

$$x^2 + \epsilon y^2 = \pm 1$$

با مشتقگیری داریم  $0 = xx' + \epsilon yy' = kJ\sigma$  که نشان می‌دهد  $\sigma \perp \sigma'$  و در نتیجه  $\sigma' = kJ\sigma$ . برای نمایش پارامتری طول قوس،  $k = \pm 1$  با قراردادن  $\phi = \text{به جای } \theta$  می‌توان جوابهای با  $k = -1$  را از جوابهای با  $k = 1$  به دست آورد. به این ترتیب به معادله دیفرانسیل ماتریسی  $J\sigma = \sigma'$  می‌رسیم که جواب آن، برای تمامی  $\phi$ ‌های حقیقی، عبارت است از

$$\sigma(\phi) = e^{J\phi}\sigma(0)$$

تبديل خطی با ماتریس  $e^{J\phi}$  دو دان به اندازه زاویه  $\phi$  نامیده می‌شود. زاویه  $\phi$  طول قوس در امتداد دایره یکه از  $\sigma(0)$  تا  $\sigma(\phi)$  است. این طول قوس اندازه (ادیانی) نامیده می‌شود. چون  $(0^\circ)$  اختیاری است به نتیجه زیر می‌رسیم:

اگر  $v$  و  $v$  بردارهای یکه‌ای داشند که اندیای آنها در مبدأست و دوی یک شاخه از دایره یکه در  $\mathbb{P}^1_\epsilon$  فراز داشته باشند، آنگاه دو دانی وجود دارد که  $v$  دا  $v$  می‌بود.

باز هم فرض کنید محل یک ذره متحرک بر روی یک خط با رابطه  $x = f(t)$  داده می‌شود که در آن  $t$  زمان در چارچوب مرجع آزمایشگاه است. جهان-خط نسبیتی ذره خمی در  $\mathbb{P}^1_{-v}$  با ضابطه  $\sigma(t) = (f(t), t)$  است. این نمایش پارامتری طول قوس نیست زیرا  $\langle \sigma'(t), \sigma''(t) \rangle = [f'(t)]^2 - 1$ . اگر  $\sigma$  منظم باشد، در حالت کلی ثابت نیست. قرار می‌دهیم  $t = f'(t)$ . آنگاه  $|v|$  نمی‌تواند برابر ۱ باشد. چون ما می‌خواهیم  $v = v$  در هر خم منظم باید داشته باشیم  $1 < |v|$ . یکاهای به کار رفته در این مورد دکاهای هندسی هستند که در آنها زمان و فاصله بر حسب یکاهای یکسانی اندازه‌گیری می‌شود و سرعت نور برابر ۱ است؛ مراجعهای [۱۵]، [۲۰]، یا [۱۵] را ببینید. طول قوس این خم را ویژه‌زمان می‌گویند. ویژه‌زمان مدت زمانی است که ساعت همراه ذره ثبت می‌کند (مقایسه کنید با حالت نیوتی). فرض کنید  $\tau$  ویژه‌زمان باشد. طبق تعریف طول قوس:

$$\frac{d\tau}{dt} = \sqrt{1 - v^2}$$

چون  $1 < \sqrt{1 - v^2}$ ، ساعت همراه ذره در مقایسه با ساعت واقع در چارچوب مرجع کنترکار می‌کند. این نتیجه به پاداکس دوقلو یا پاداکس ساعت منجر می‌شود.

تعییر فیزیکی انجنای  $\kappa(t)$  شتابی است که ناظر سواد در ذره می‌گیرد. ما در اینجا  $\kappa$  را ویژه‌شتاب می‌نامیم. مسئله، حرکت در امتداد یک خط مستقیم است، بنابراین می‌توانیم شخصی را در نظر بگیریم که سوار بر یک آنسانور بسته است و از یک شتاب‌سنج به عنوان وسیله اندازه‌گیری استفاده می‌کند. ویژه‌شتاب با شتاب مشاهده شده در چارچوب مرجع آزمایشگاه از طریق فرمول زیر مربوط می‌شود

$$\kappa = \frac{f''(t)}{(1 - v^2)^{3/2}}$$

که در آن حرکت با رابطه  $x = f(t)$  مشخص می‌شود. این رابطه، نوع مینکوفسکیایی فرمول استاندارد حسابان است (و به همان طریق به دست می‌آید).

هنگامی که  $\langle \sigma'(t), \sigma''(t) \rangle$  مثبت، صفر، یا منفی است جهان-خط را، به ترتیب، فضایگونه، نورگونه، یا زمان‌گونه می‌نامند. جهان-خط ناظرهای زمان‌گونه است. برای ناظرهای لخت،  $\kappa(\tau) \equiv 0$ . چون برای ناظرهای لخت  $T(\tau)$  ثابت است، جهان-خط آنها یک خط مستقیم است. نقاط  $\mathbb{P}_1$  را (ویداد می‌نامند و مختصات معین آزمایشگاه در  $\mathbb{P}_{-v}$  را، آن طور که توسط یک ناظر لخت با جهان-خط  $(0, t)$  =  $\sigma(t)$  اندازه‌گیری می‌شوند، مختصات فضا و زمان هر رویداد فرض می‌کنند.

۳.۲ زاویه‌ها، نابرابریها، و طول قوس  
دورانها صورت دوخطی (۱) را حفظ می‌کنند. یعنی، برای هر زاویه  $\phi$  و هر دو بردار  $v$  و  $w$  داریم

$$\langle e^{J\phi}v, e^{J\phi}w \rangle = \langle v, w \rangle$$

برای درک این نکته، ابتدا نشان دهید که  $e^{J\phi}$  یک ماتریس معتمد است  
یعنی  $B = (e^{J\phi})^T B e^{J\phi} = B$  که در آن

$$B = \begin{pmatrix} 1 & 0 \\ 0 & \epsilon \end{pmatrix}$$

ماتریس صورت دوخطی است. (اهمانی: از  $(e^{J\phi})^T B e^{J\phi}$  نسبت به  $\phi$  مشتق بگیرید و توجه کنید که  $J^T B + BJ = 0$ . چون وقتی بردارها به صورت ماتریسهای ستونی تعبیر شوند داریم  $\langle v, w \rangle = v^T B w$ ، نتیجه بدست می‌آید.

گوییم دو بردار ناپایدار  $v$  و  $w$ ، از یک نوع‌اند اگر بردارهای یکه بردارهای زمان‌گونه باشند. از این‌رو، بردارهای یکه باشند. یک زاویه (سودار) از  $v$  تا  $w$  برابر عدد  $\phi$  است به‌گونه‌ای که  $w_1 = e^{J\phi}v_1$ . در این صورت،  $v = e^{J\psi}u$  و  $w = e^{J\psi}u$  که در آن، بسته به شاخه به‌خصوص دایره یکه،  $u = (\pm 1, 0)$  یا  $u = (\pm 1, \pm 1)$ . فرار می‌دهیم  $\psi_1 - \psi_2 = \phi$ . در این صورت  $\phi$  زاویه‌ای از  $v$  تا  $w$  است و با تعبیر بردارها به عنوان ماتریسهای تک‌ستونی داریم

$$\begin{aligned} \langle v_1, w_1 \rangle &= \langle e^{J\psi_1}u, e^{J\psi_2}u \rangle = \langle u, e^{J\phi}u \rangle \\ &= u^T B e^{J\phi}u = \pm \cos_{\epsilon} \phi \end{aligned}$$

که در آن علامت منفی فقط وقتی ظاهر می‌شود که  $v$  و  $w$  بردارهای زمان‌گونه باشند. از این‌رو، برای بردارهای از یک نوع داریم

$$\langle v, w \rangle = \|v\| \|w\| \langle v_1, w_1 \rangle = \pm \|v\| \|w\| \cos_{\epsilon} \phi$$

که در آن  $\phi$  زاویه از  $v$  تا  $w$  است و علامت منفی فقط وقتی ظاهر می‌شود که  $v$  و  $w$  بردارهای زمان‌گونه باشند. از این بحث مستقیماً به نابرابری‌های زیر می‌رسیم.

نابرابری شوارتس. فرض کنید  $v$  و  $w$  بردارهایی از یک نوع باشند. در این صورت اگر  $1 - \epsilon = \|\langle v, w \rangle\| \leq \|v\| \|w\|$  و اگر  $0 = \epsilon = \|\langle v, w \rangle\| = \|v\| \|w\|$ ، و سرانجام اگر  $1 - \epsilon = \|\langle v, w \rangle\| \geq \|v\| \|w\|$ .

با جرح و تعدیلی در استدلال متعارف در حالت اقلیدسی، به سادگی می‌توان به نابرابری زیر رسید.

البته، بمازای  $1 - \epsilon = \|\langle v, w \rangle\|$  تعداد زیادی از این دورانها وجود دارد، و مقادیر مختلف  $\phi$  در ضرایب  $2\pi$  با هم فرق می‌کنند. بمازای  $0 = \|\langle v, w \rangle\|$  و  $1 - \epsilon = \|\langle v, w \rangle\|$  منحصر به فرد است.

اگرچه فرض کنید  $\sigma$  خم منظمی است که نسبت به طول قوس  $s$  پارامتری می‌شود. در این صورت  $T(s)$ ، اگر به‌گونه‌ای انتقال یابد که ابتدای آن در مبدأ باشد، روی دایره یکه قرار می‌گیرد. فرض کنید  $\kappa(s)$  زاویه از  $T(s)$  باشد. در این صورت  $T(s) = e^{J\phi(s)} T(0)$  و داریم  $\kappa(s)N(s) = T'(s) = \phi'(s) J e^{J\phi(s)} T(0)$

$$= \phi'(s) J T(s) = \phi'(s) N(s)$$

در این صورت  $\kappa(s) = \phi'(s)$  و بنابراین  $\kappa(s)$  آهنگ تغییر نسبت به طول

در حالت اقلیدسی، این یک نتیجه متعارف است. برای حالت نیوتینی با ضابطه  $(t, f'(t)) = (t, \sigma(t))$  واضح است که  $f'(t) = \phi'(t)$  سرعت است. در مکانیک نسبیتی، رابطه  $\kappa(\tau) = \phi'(\tau)$  نشان می‌دهد که مشتق  $\phi$  نسبت به ویژه‌زمان، ویژه‌شتاب است. از این‌رو، می‌توان زاویه  $\phi$  را ویژه‌سرعت نامید، که گاهی پارامتر سرعت نامیده می‌شود. از بحث متناظری زیر نتیجه می‌شود که اگر جهان-خط در چارچوب مرجع آزمایشگاه با  $x = f(t)$  مشخص داده شود، آنگاه  $\phi = f'(t) = \tanh t$ .

امتحان مستقیم رابطه زیر با استفاده از تعریف تابع نمایی ماتریسی  $e^A = \sum_{n=0}^{\infty} A^n / n!$  مشکل نیست

$$e^{J\phi} = \begin{pmatrix} \cos_{\epsilon} \phi & -\epsilon \sin_{\epsilon} \phi \\ \sin_{\epsilon} \phi & \cos_{\epsilon} \phi \end{pmatrix}$$

که در آن

$$\cos_{\epsilon} \phi = \sum_{n=0}^{\infty} \frac{(-\epsilon)^n \phi^{2n}}{(2n)!}, \quad \sin_{\epsilon} \phi = \sum_{n=0}^{\infty} \frac{(-\epsilon)^n \phi^{2n+1}}{(2n+1)!}$$

بمازای  $1 - \epsilon = \|\langle v, w \rangle\|$ ، این تابع همان تابع معمولی سینوس و کسینوس هستند. بمازای  $0 = \|\langle v, w \rangle\|$ ، کسینوس و سینوس هیپربولیک، و بمازای  $1 - \epsilon = \|\langle v, w \rangle\|$  فقط  $\cos_{\epsilon} \phi = \phi$  و  $\sin_{\epsilon} \phi = 0$  هستند. در تمامی این موارد:

$$\cos_{\epsilon}^2 \phi + \epsilon \sin_{\epsilon}^2 \phi = 1$$

$$\partial_{\phi} \cos_{\epsilon} \phi = -\epsilon \sin_{\epsilon} \phi, \quad \partial_{\phi} \sin_{\epsilon} \phi = \cos_{\epsilon} \phi$$

با برابر قراردادن درایه‌های متناظر معادله ماتریسی:

$$e^{J(\phi+\psi)} = e^{J\phi} e^{J\psi}$$

فرمولهای مجموع به دست می‌آید

$$\cos_{\epsilon}(\phi + \psi) = \cos_{\epsilon} \phi \cos_{\epsilon} \psi - \epsilon \sin_{\epsilon} \phi \sin_{\epsilon} \psi$$

$$\sin_{\epsilon}(\phi + \psi) = \sin_{\epsilon} \phi \cos_{\epsilon} \psi + \cos_{\epsilon} \phi \sin_{\epsilon} \psi$$

برای ملاحظه بخشی در متناظر این صفحه‌ها، مرجع [۲۱]، و برای متناظر در  $\mathbb{P}_1$ ، مرجع [۱] را ببینید.

که در آنها  $\sigma$  هر نقطه در صفحه است و  $T$  روی دایره یکه قرار دارد. توجه کنید که برای هر جواب داریم

$$\langle T, T \rangle' = 2\kappa \langle JT, T \rangle = 0.$$

و طول  $T$  ثابت است. در نتیجه  $s$  یک پارامتر طول قوس است. در حالت اقلیدسی، داریم  $T_s = (\cos \phi_s, \sin \phi_s)$ ؛ در مکانیک نیوتونی،  $T_s = (\sin h\phi_s, \cos h\phi_s)$  و در مکانیک نسبیتی،  $T_s = (1, \phi_s)$ . اکنون فرض کنید که  $\sigma(s)$  و  $\tau(s)$  دو خم پارامتری شده توسط طول قوس اند و  $(s)$ ، تابع انحنای آنها، یکسان است. همچنین فرض کنید  $T_\sigma$  و  $T_\tau$ ، به ترتیب، بردارهای مماس یکه این دو خم اند. اگر  $(T_\sigma)_s = T_\tau$  و  $(T_\tau)_s = e^{J\phi} T_\sigma$  صدق می‌کند. خم جدید  $(s)$  را با ضابطه زیر تعریف می‌کنیم

$$\rho(s) = (\sigma(s) - e^{J\phi} \tau(s)) + e^{J\phi} \tau(s)$$

چون  $\rho$  تصویر  $\tau$  تحت یک همنهشتی مستقیم است،  $\rho$  نیز دارای تابع انحنای  $(s)$  است. چون  $(\sigma(s) - e^{J\phi} \tau(s))$  دو خم اند. این نتیجه، قضیه بنیادی خمها مسطح را اثبات می‌کند.

به ازای  $\epsilon = 0$  و برای ذراتی که به ازای  $\epsilon = 0$  در زمان به طرف جلو حرکت می‌کنند، عبارت مربوط به  $e^{J\phi}$  بر حسب تابع مثباتی را در صورت معلوم بودن  $\kappa$ ، می‌توان برای بیان این خمها بر حسب انتگرال به کار برد. این روابط، در صفحه اقلیدسی، عبارت‌اند از

$$\begin{aligned} \phi(s) &= \int_0^s k(u)du + \phi_0, \quad x(s) = \int_0^s \cos \phi(u)du + x_0, \quad y(s) \\ &= \int_0^s \sin \phi(u)du + y_0. \end{aligned}$$

برای یک ذره نسبیتی  $(\tau, \text{ویژه زمان})$  عبارت‌اند از

$$\begin{aligned} \phi(\tau) &= \int_0^\tau k(u)du + \phi_0, \quad x(\tau) = \int_0^\tau \sinh \phi(u)du + x_0, \quad t(\tau) \\ &= \int_0^\tau \cosh \phi(u)du + t. \end{aligned}$$

و برای یک ذره نیوتونی عبارت‌اند از

$$x(t) = \int_0^t \phi(u)du + x_0 \quad \text{و} \quad \phi(t) = \int_0^t k(u)du + \phi_0.$$

این فرمولها هنگامی که انتگرال‌گیری انجام‌پذیر باشد مفیدند. دستگاه اصلی معادلات دیفرانسیل برای محاسبات عددی ارجح است زیرا در این صورت نیاز به استفاده از توابع متعالی وجود ندارد. برای آشنایی با یک تابع همینهشتی که جوابها را به دستگاه معادلات دیفرانسیل برمی‌گرداند مراجع [۹] را بینیستید.

نابرابری مثلثی. فرض کنید  $v$  و  $w$  بردارهای از یک نوع‌اند. در این صورت  $\|v + w\| \leq \|v\| + \|w\|$  و اگر  $\epsilon = 1 - \frac{\|v + w\|}{\|v\| + \|w\|} = 0$  باستفاده از نابرابری مثلثی می‌توان نشان داد که

در میان خمها مسطح از نقطه  $p$  تا نقطه  $q$  در صفحه اقلیدسی، خط مستقیم دارای کمترین طول قوس است، طول قوس تماشی خمها مسطح از نقطه  $p$  تا نقطه  $q$  در صفحه گالیله‌ای یکسان است، در میان خمها مسطح از نقطه  $p$  تا نقطه  $q$  در صفحه مینکوفسکیابی، خط مستقیم دارای بزرگترین طول قوس است.

در مکانیک نسبیتی، طول قوس یک خم زمان‌گونه از رویداد  $q$  برابر است با زمان ثبت شده توسط ساعتی که در امتداد خم از  $p$  به  $q$  می‌رود. اینکه دو ساعت که در امتداد دو جهان-خط متفاوت از  $p$  به  $q$  می‌روند دو زمان سپری‌شده متفاوت را ثبت می‌کنند همان صورت عام پاردوکس دوقلوست که در بخش ۱.۳ توصیف شد.

## ۴.۲ قضیه بنیادی خمها مسطح همنهشتی مستقیم دورانی است که به دنبال آن یک انتقال می‌آید:

$$\mathcal{T}(v) = a + e^{J\phi} v,$$

این همنهشتیها فاصله‌های میان نقاط  $\mathbb{P}$  را حفظ می‌کنند و یک زیرگروه از گروه طول‌پایه‌ها تشکیل می‌دهند. این تبدیلها مستقیم گالیله‌ای به ازای  $\epsilon = 0$  و تبدیلها مستقیم لورنتسی به ازای  $\epsilon = -1$  می‌نامیم.

اگر  $\sigma$  خمی با پارامتر طول قوس  $s$  و  $\mathcal{T}$  یک همنهشتی مستقیم باشد، خم جدید زیر را تعریف می‌کنیم

$$\rho(s) = \mathcal{T}(\sigma(s)) = a + e^{J\phi} \sigma(s)$$

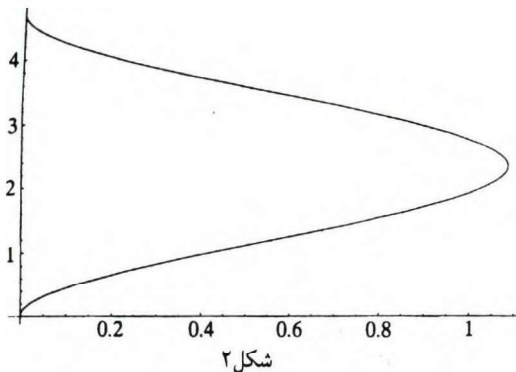
در این صورت  $\rho$  نیز پارامتر طول قوس برای  $\rho$  است، چون  $J$  و  $N(s) T(s)$  تعویض پذیرند، تابع انحنای  $\rho$  همان تابع انحنای  $s$  است. اگر  $e^{J\phi} N(s) T(s)$  بردارهای مسas و قائم یکه باشند، آنگاه  $e^{J\phi} N(s) e^{J\phi} T(s) = e^{J\phi} N(s) T(s)$  بردارهای مسas و قائم  $\rho$  هستند.

برعکس، دو خم که با طول قوس پارامتری شده‌اند و تابع انحنای یکسان دارند، باید مستقیماً همنهشت باشند، به شرط آنکه بردارهای مسas یکه آنها روی یک شاخه از دایره یکه قرار گرفته باشند. این نتیجه را قضیه بنیادی خمها مسطح می‌نامیم.

نظریه بنیادی خمها مسطح از یکتایی جوابهای معادله‌های دیفرانسیل معمولی نتیجه می‌شود. مسئله مقدار آغازی را می‌توان به طور فشرده به صورت دستگاهی از دو معادله دیفرانسیل برداری با شرایط آغازی نوشت:

$$\sigma'(s) = T(s), \quad \sigma(0) = \sigma_0.$$

$$T'(s) = \kappa(s) J_\epsilon T(s), \quad T(0) = T_0.$$



جهان-خط متشکل است از قوسهای هذلولی و محاسبه دقیق امکان‌پذیر است. (بخش ۲.۳ را ببینید).

### ۲.۳ تکانه، انرژی و نیرو

قانون پایستگی بردار مماس یکه، در محاسبات روزمرهٔ فیزیک، مانند تحلیل اثر برهمکنشهای ذره در شتاب دهنده، نقش مهمی بازی می‌کند. این امر بدین دلیل است که به جای قوانین پایستگی کلاسیک تکانه، انرژی و جرم، یک قانون واحد بر حسب بردارهای مماس بر جهان-خطها به کار می‌رود.  
به هر «ذره» عددی به نام جرم سکون وابسته است. در این مقاله ذراتی را که جرم سکون مثبت دارند بررسی می‌کنیم. برای تعیین این بحث به ذرات نورگوئه، مراجعهای [۱۶]، [۱۷] و [۱۸] را ببینید. اگر ذرهای با جرم  $N$  سکون  $m$  دارای تکانه نسبیتی یا چهار-تکانه ذره را به صورت بردار  $P = m \cdot T$  باشد، بوداد تکانه نسبیتی یا  $t = dt/d\tau$  در چارچوب آزمایشگاه، تعریف می‌کنیم. اکنون فرض کنید در لحظه  $t = ۰$  در چارچوب آزمایشگاه، ذراتی با بردارهای تکانه نسبیتی  $P_1, P_2, \dots, P_n$  برهمکنش می‌کنند. بعد از برهمکنش، ذرات جدیدی با بردارهای تکانه نسبیتی  $Q_1, Q_2, \dots, Q_m$  به جای می‌مانند. قانون پایستگی عبارت است از

$$P_1 + P_2 + \dots + P_n = Q_1 + Q_2 + \dots + Q_m$$

فرض کنید که، در چارچوب آزمایشگاه، جهان-خط ذرهای با جرم سکون  $m$  عبارت است از  $(x(t), t) = \sigma(t)$  که در آن  $t$  از روی ساعت آزمایشگاه اندازه‌گیری می‌شود. بردار تکانه نسبیتی برابر است با

$$m \cdot (d\sigma/dt) = m \cdot (dt/d\tau)(d\sigma/dt) = \left( \frac{m \cdot v}{\sqrt{1 - v^2}}, \frac{m}{\sqrt{1 - v^2}} \right)$$

مؤلفه اول تکانه آزمایشگاه یا سه-تکانه و مؤلفه دوم از ذره براساس اندازه‌گیری در آزمایشگاه است. جرم سکون ذره، کمینه انرژی آن است و هنگامی که ذره در چارچوب مرجع آزمایشگاه ساکن است انرژی آن کمینه است. در دستگاه یکاهایی که در آنها سرعت نور واحد نیست این برابری جرم و انرژی با رابطه  $E = m \cdot c^2$  داده می‌شود که در آن ضریب تبدیل  $c$  سرعت نور است. برای توضیح این قانون پایستگی فرض کنید که در چارچوب مرجع آزمایشگاه دو تکه بتوئنه مساوی به جرم  $m$  در حال سکون وجود دارد. این دو تکه را با شتاب به طرف هم‌دیگر می‌فرستیم و این دو در زمان  $t$  با سرعتهای مساوی و مخالف  $\pm v$  با هم برخورد می‌کنند. فرض کنید که آنها

### ۳. نقاط شتابدار

مطالعه ذره نقطه‌ای نسبیتی که در یک بعد در حرکت است فقط مستلزم تعریف طول قوس است، یعنی زمانی که توسط ساعت روی ذره ثبت می‌شود، و دستگاه فرنه معادلات دیفرانسیل. در اینجا اثر عدمه اتساع زمان است که براساس آن ساعتهای متحرک در مقایسه با ساعتهای ساکن واقع در چارچوب آزمایشگاه کند کار می‌کنند. برای توضیح این مطلب دو مثال می‌آوریم.

#### ۱.۳ پارادکس ساعت

پارادکس ساعت، یا پارادکس دوقلو، شامل یک زوج دوقلوی یکسان است که یکی به مسافت میان ستاره‌ای می‌رود و دیگری در منزل می‌ماند. وقتی دوقلوی مسافر بر می‌گردد، سن آنها دیگر یکسان نیست. سن دوقلوی مانده در منزل از سن دوقلوی مسافر بیشتر است. این مسئله را در درس حسابان هنگام بحث طول قوس می‌توان حل کرد. فرمول طول قوس و فرمول ویژه زمان فقط در یک علامت با هم فرق می‌کنند. فرمول طول قوس عبارت است از

$$s = \int_a^b \sqrt{1 + (dx/dt)^2} dt \quad (2)$$

و فرمول ویژه زمان چنین است

$$\tau = \int_a^b \sqrt{1 - (dx/dt)^2} dt \quad (3)$$

برای اجتناب از یکاهای هندسی، به جای  $c = dx/dt$   $v/c = dx/dt$  قرار می‌دهیم که در آن  $c$  سرعت نور در دستگاه یکاهای به کار رفته است. تحلیل این موضوع، در صورت استفاده از تبدیلات لورتنس، نادقيق است زیرا هنگام برگشتن دوقلوی مسافر شتاب به طور اجتناب نایابی تغییر می‌کند. اما، با استفاده از روابط (۲) و (۳) می‌توان صرفاً مسیر فضازمان، یعنی رابطه  $(x(t), t) = (x(t), \tau)$  را برای مسافر انتخاب و طول قوس مینکوفسکیایی را محاسبه کرد. هر مسیر انتخاب شده‌ای این اثر را نشان می‌دهد. با استفاده از روشهای عددی می‌توان بر مشکلات فنی انتگرال‌گیری غلبه کرد.

اگر دستگاه معادلات دیفرانسیل فرنه را به کار ببریم می‌توانیم شتاب را مشخص کنیم. فرض کنید خلبان سفینه دوقلوی مسافر موشکها را به گونه‌ای روشن می‌کند که شتاب ثابتی آن طور که در سفینه اندازه‌گیری می‌شود را مدت یک سال به سفینه بدهد. بعد از یک سال، سفینه  $180^\circ$  درجه می‌چرخد و برای مدت یک سال بعد با شتاب کندشونده پیش می‌رود تا متوقف شود. روشن کردن موشکها برای سال بعد سفینه را به نیمه راه زمین برمی‌گرداند. در این نقطه دوباره سفینه  $180^\circ$  درجه می‌چرخد و سرانجام به زمین برمی‌گردد. جهان-خط در شکل ۲ رسم شده است. شتاب برابر است با  $x = v \cdot t$  واقع است و مسافت در  $t = ۰$  شروع می‌شود. شتاب برابر است با  $180^\circ$  نوری بر سال بر سال، که تقریباً برابر شتاب حاصل از گرانش بر زمین است. مسافرت، به زمان سفینه، چهار سال طول می‌کشد. جهان-خط دوقلوی مسافر در شکل ۲ نشان داده شده است. جهان-خط دوقلوی مانده در منزل، محور قائم است. برای ملاحظه جزئیات محاسبه عددی مراجع [۹] را ببینید.

چون  $(4\pi, 0) \approx (4\pi, 5)$  سن دوقلوی مانده در منزل حدود ۷۴ سال و سن دوقلوی مسافر ۴ سال است. چون  $\tau$  در این مثال ثابت تکه‌ای است،

که در آن

$$a = \frac{\nu_0}{\sqrt{1 - \nu_0^2}}, \quad \nu_0 = \nu(0)$$

از این رو با بزرگ شدن  $t$  سرعت به سرعت نور نزدیک می‌شود و می‌توان به ازای یک  $\alpha$  مشخص زمان آزمایشگاه را برای شتاب دادن به ذره، مثلاً  $99\%$  سرعت نور به دست آورد. زمان ثبت شده توسط ساعت همراه ذره را می‌توان با استفاده از انتگرال زیر محاسبه کرد

$$\int \sqrt{1 - \nu^2} dt = \frac{1}{\alpha} \sin h^{-1}(\alpha t + a) + C$$

با انتگرال گرفتن از  $(t) \nu$  بدست می‌آید

$$x(t) = \alpha^{-1} \sqrt{(\alpha t + a)^2 + 1} + b \quad (5)$$

که در آن

$$b = x_0 - \frac{1}{\alpha \sqrt{1 - \nu_0^2}}, \quad x_0 = x(0)$$

این یک هذله است و حرکت با شتاب ثابت را غالباً حرکت هذله است می‌گویند. با فرض  $\nu_0 = x_0$  برای سهولت، حرکت عبارت است از

$$x(t) = \frac{1}{\alpha} (\sqrt{\alpha^2 t^2 + 1} - 1) = \frac{\alpha}{2} t^2 - \frac{\alpha^3}{8} t^4 + \dots$$

که نتیجه نیوتین  $\alpha t^2 / 2 = \alpha t^2$  به اضافه جمله‌های مرتبه بالاتر است.

آلبرت و ایزاک توب بازی می‌کنند. آلبرت اینشتین و ایزاک نیوتون، شانه به شانه هم‌دیگر ایستاده‌اند و توپهای یکسانی را با سرعت و ارتفاع اولیه یکسان مستقیماً به طرف بالا پرتاب می‌کنند. توب کدامیک بیشتر بالا می‌رود؟ توب کدامیک مدت طولانی‌تری در هوا می‌ماند؟

با فرض اینکه  $x(t) = x_0$  ارتفاع باشد و  $\nu_0 = x_0$ ، فرمولهای (۴) و (۵) نشان می‌دهند که توب آلبرت در مدت زمان زیر به زمین بر می‌گردد ( $\alpha$  در اینجا منفی است)

$$t = \frac{-2\nu_0}{\alpha \sqrt{1 - \nu_0^2}}$$

که در آن  $\nu_0$  سرعت اولیه است. چون توب ایزاک در زمان  $\alpha t = -2\nu_0 / \alpha$  به زمین بر می‌گردد، توب آلبرت مدت زمان بیشتری در هوا باقی می‌ماند و مسافت بیشتری هم بالا می‌رود. دو خم بالایی در شکل ۳ نمودارهای ارتفاع دو توب بر حسب زمان هستند.

اما برای اینکه توب آلبرت با همان سرعت اولیه توب نیوتون بالا برود باید انرژی بیشتری به آن بدهد. فرض کنید آلبرت و ایزاک توپهای خود را با انرژی یکسانی پرتاب می‌کنند. یعنی، آنها توپهای خود را با نیروی ثابت مساوی و

بر اثر برخورد به هم می‌چسبند و یک تکه جدید تشکیل می‌دهند. همچنین فرض کنید که  $P_1$  و  $P_2$  بردارهای تکانه تکه‌های اصلی در زمان  $t$  و  $Q$  بردار تکانه تکه جدید باشد. در این صورت

$$Q = P_1 + P_2$$

$$\begin{aligned} &= \left( \frac{m \cdot \nu_0}{\sqrt{1 - \nu_0^2}}, \frac{m \cdot \nu_0}{\sqrt{1 - \nu_0^2}} \right) + \left( \frac{-m \cdot \nu_0}{\sqrt{1 - \nu_0^2}}, \frac{m \cdot \nu_0}{\sqrt{1 - \nu_0^2}} \right) \\ &= \left( 0, \frac{2m \cdot \nu_0}{\sqrt{1 - \nu_0^2}} \right) \end{aligned}$$

از این رو تکه جدید بtone در چارچوب مرجع آزمایشگاه ساکن و جرم سکون آن بزرگتر از مجموع جرم سکون‌های تکه‌های اولیه است. جرم سکون تکه جدید برابر است با

$$\sqrt{\frac{2m}{1 - \nu_0^2}} = 2m_0 + 2\left(\frac{1}{2}m_0 \nu_0^2\right) + \frac{3}{4}m_0 \nu_0^4 + \dots$$

بنابراین، با چشم‌پوشی از جمله‌های با توان بیشتر از دو، افزایش جرم سکون برابر است با انرژی جنبشی کلاسیک سیستم قبل از برخورد. انرژی به جرم تبدیل شده است.

براساس این محاسبات، می‌توان یک متمم کاربردی برای درس جبر خطی مقدماتی عرضه کرد که در آن از جبر برداری چهار بعدی استفاده شود.

نیرو. سه‌نیرو مشتق سه‌تکانه نسبت به زمان آزمایشگاه است. با فرض ثابت بودن جرم سکون، نوشتند تکانه نسبیتی به صورت  $(p, E)$  و به کار بدن فرمولهای فرنه داریم

$$\left( \frac{dp}{dt}, \frac{dE}{dt} \right) = \frac{dP}{dt} = \frac{d\tau}{dt} \frac{dP}{d\tau} = m_0 \kappa J \frac{dT}{dt} = (m_0 \kappa, m_0 \kappa) \frac{dx}{dt}$$

از این رو، با فرض ثابت بودن جرم سکون و حرکت راستخط، سه‌نیروی وارد بر یک ذره برابر است با

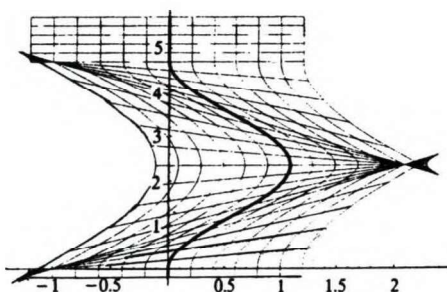
$$p' = m_0 \kappa = m_0 \frac{x''}{(1 - (x')^2)^{3/2}}$$

این رابطه جانشین نسبیتی قانون  $F = ma$  نیوتون است. براساس این معادله می‌توان یک مجموعه مسئله کاربردی برای یک درس معادلات دیفرانسیل مقدماتی مطرح کرد. با فرض ثابت بودن نیروی  $F$  داریم

$$\frac{x''}{(1 - (x')^2)^{3/2}} = \frac{F}{m_0} = \alpha$$

با قرار دادن  $x' = v$  یک معادله تفکیک‌پذیر با جواب زیر بدست می‌آید

$$v(t) = \frac{\alpha t + a}{\sqrt{(\alpha t + a)^2 + 1}} \quad (4)$$



شکل ۴ شبکه مختصات دوقلوهای مسافر

بنابراین، مختصات  $(\sigma, \tau)$  در چارچوب مرجع فرنه برای  $\sigma$ ، به صورت زیر با نقاط در چارچوب  $\mathbb{P}_1$  مربوط می‌شوند

$$(x, t) = \sum (\sigma, \tau) = \sigma(\tau) + \sigma N(\tau) \quad (6)$$

مفهوم فیزیکی چارچوب مرجع فرنه عبارت است از: مجموعه (ویدادهای هم‌عابان با ویژه‌های  $\tau$  برای ناظر شتابدار با جهان-خط  $\sigma$  متشکل است از خط عمود بر برداد مماسی یکه  $(T, \tau)$ ، یعنی در داستای  $N(\tau)$  قرار دارد، مقدار  $\sigma$  فاصله‌ای است که ناظر شتابدار آندازه می‌گیرد، اگر سرعت،  $v$ ، در چارچوب مرجع آزمایشگاه ثابت باشد، آنگاه با شرایط اولیه مناسب،  $(vt, t) = (vt, t) = \sqrt{1 - v^2}, \sigma(t) = \sqrt{1 - v^2} dt/dt = \sqrt{1 - v^2}$ ، مقدار ثابت است و می‌توان نوشت  $t = \sqrt{1 - v^2} \tau$ . در این صورت فرمول (6) به صورت زیر در می‌آید،

$$x = (v\tau + \delta)/\sqrt{1 - v^2}, \quad t = (v\delta + \tau)/\sqrt{1 - v^2}$$

که همان تبدیل لورتنس است.

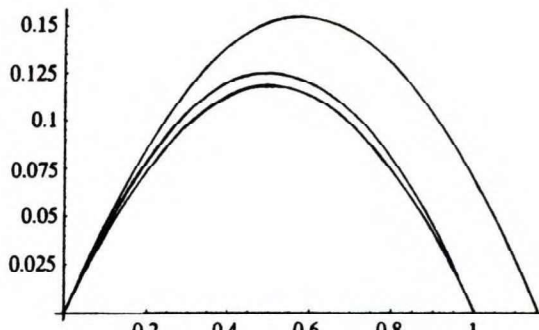
شکل ۴، شبکه مختصات  $\sigma\tau$  را برای دوقلوی شتابدار بخش ۱.۳ نشان می‌دهد. جهان-خط  $\sigma$  پررنگ است. توجه کنید که این شبکه تکینگی دارد و آن در نقاطی است که هم‌زمان با دویا چند مقدار متمایز از  $\tau$  هستند. هرگاه بردار  $(\tau, N)$  ثابت نباشد وجود این تکینگها اجتناب‌ناپذیر است؛ فرمولهای فرنه با  $\tau = 0$  نشان می‌دهند که  $N$  در حالت نیوتونی ثابت است. برای اجتناب از این نقاط تکینه، توجه خود را به ناحیه‌هایی محدود می‌کنیم که در آنها خنهای موازی  $\sum_{\delta}(\delta, \tau)$ ، با  $\delta \neq 0$  ثابت، منظم‌اند. با استفاده از فرمولهای فرنه با  $\tau = 0$  داریم

$$\frac{d}{d\tau}(\sigma(\tau) + \delta N(\tau)) = T(\tau) + \delta \kappa(\tau) T(\tau) = (1 + \delta \kappa(\tau)) T(\tau)$$

دستگاه مختصات یک ناظر شتابدار در ناحیه‌ای تعیین می‌شود که در آن وقتی  $\tau > 0$  دادیم  $\kappa(\tau) < 1/\kappa(\tau) - 1$  و وقتی  $\tau < 0$  دادیم  $\kappa(\tau) < -1/\kappa(\tau)$ .

ماتریس صورت دوخطی مینکوفسکی بر حسب مختصات  $\delta\tau$  عبارت است از

$$\begin{pmatrix} \langle \delta_\delta \sum, \partial_\sigma \sum \rangle & \langle \partial_\delta \sum, \partial_\tau \sum \rangle \\ \langle \delta_\tau \sum, \partial_\delta \sum \rangle & \langle \partial_\tau \sum, \partial_\tau \sum \rangle \end{pmatrix} = \begin{pmatrix} 1 & 0 \\ 0 & -(1 + \delta \kappa(\tau))^2 \end{pmatrix}$$



شکل ۳ جهان-خط توپهای آلبرت و ایزاک

برای زمانهای مساوی شتاب می‌دهند. با فرض  $v = 0$ ، سرعت توپهای آلبرت و ایزاک، به ترتیب، برای است با

$$\nu_A(t) = \frac{\alpha t}{\sqrt{\alpha^2 t^2 + 1}}, \quad \nu_1(t) = \alpha t$$

از این رو، به ازای نیروی یکسان، اگر توپ ایزاک با سرعت اولیه  $v_1$  رها شود آنگاه توپ آلبرت با سرعت اولیه زیر رها می‌شود

$$\nu_A = \frac{v_1}{\sqrt{1 + v_1^2}}$$

و در مدت زمان

$$t = \frac{-2\nu_A}{\alpha\sqrt{1 - \nu_A^2}} = -2\nu_1/\alpha$$

به زمین بر می‌گردد. دو توپ مدت زمان یکسانی در هوا باقی می‌مانند. توپ ایزاک تا ارتفاع بیشتری بالا می‌رود.

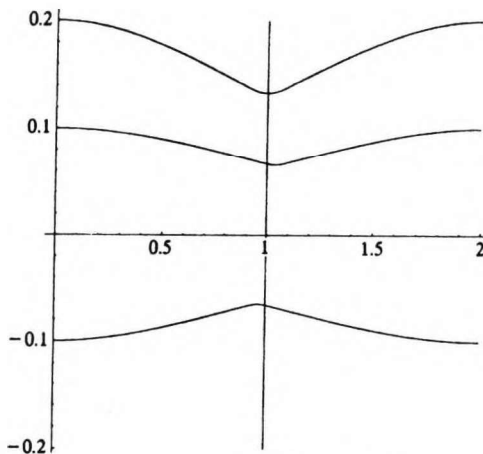
مسیرهای فضا-زمان دو توپ، با فرض جرم واحد در شکل ۳ رسم شده است. نیرو، در میدان گرانش زمین،  $1$  سال نوری بر سال تقریب زده شده است. سرعت اولیه، به خاطر رسم بهتر نمودار، نسبتاً بزرگ و برای  $v = 0.5$  فرض شده است. نمودار وسط مربوط به توپ ایزاک، نمودار بالا مربوط به توپ آلبرت با سرعت اولیه  $v_A = 0.5$  و نمودار پایین مربوط به توپ آلبرت با سرعت اولیه  $v_A = 0.1/\sqrt{5} = 0.2236$  است.

مسیرهای فضا-زمان توپهای آلبرت و ایزاک، به ترتیب، خمها را با انحنای ثابت در  $\mathbb{P}_1$  و  $\mathbb{P}_0$  هستند. در مراجعهای [۲۱] و [۲۲] خمها را با انحنای ثابت در  $\mathbb{P}_0$  را چرخه می‌گویند. به ازای  $\epsilon = 1, -1$ ، چرخه‌ها (شاخه‌های) دایره‌ها و خطهای راست و به ازای  $\epsilon = 0$ ، چرخه‌ها سهمیها و خطهای مستقیم (ناقائمه) هستند.

#### ۴. قطعه‌های شتابدار

انقباض طول مخصوص حرکت جسم گستردگی است نه نقطه‌ای. در این موقعیت، برای تعریف دستگاه مختصات یک ناظر متحرک با مسیر فضا-زمان  $\sigma$ ، دستگاه کامل فرنه را به کار می‌بریم.

فرض کنید  $\sigma(\tau)$  یک خم رمان‌گونه در  $\mathbb{P}_1$  باشد که نسبت به ویژه‌زمان پارامتری شده است و دارای چارچوب مرجع فرنه  $\{T(\tau), N(\tau)\}$  است.



شکل ۶ میله‌ای که دوقلوی مسافر با خود می‌برد.

در شکل ۶ نمودارهایی برای طول میله، آن‌طورکه توسط دوقلوی «ساکن» در چارچوب مرجع آزمایشگاه اندازه‌گیری می‌شود، رسم شده که در دستگاه مختصات دوقلوی مسافر از  $\tau = 0$  تا  $\tau = \delta$  گسترده است. این نمودارها مربوط به قسمت رفت مسافت‌اند؛ نمودارهای قسمت برگشت با این نمودارها متقابرانند.

نمودار بالا طول میله است. نمودار پایین، فاصله (علامت‌دار) از دوقلوی مسافر تا انتهای پسین میله و نمودار وسط، فاصله از دوقلو تا انتهای پیشین میله است. توجه کنید که وقتی سرعت دوقلوی مسافر بیشینه است ( $\tau = 1$ ) کل طول میله کمینه است، اما طول نیمه پسین اندکی قبل و طول نیمه پیشین اندکی بعد کمینه می‌شود. یعنی، از دید دوقلوی ساکن، طول نیمه‌های پیشین و پسین میله به طور متفاوت منقبض می‌شود. جزئیات اتفاقی نه تنها به سویت لحظه‌ای چارچوب شتاب دار ملکه مکان میله در آن چارچوب نیز وابسته است.

آیا در این مثال چیز خاصی درباره «مرکز» میله وجود دارد؟ مرکز میله جایی است که ما چارچوب مرجع مسافر را در آن قرار داده‌ایم. در مورد چارچوبهای وابسته به نقاط مختلف میله چه می‌توان گفت؟ این سوال را در بخش بعد پاسخ می‌دهیم.

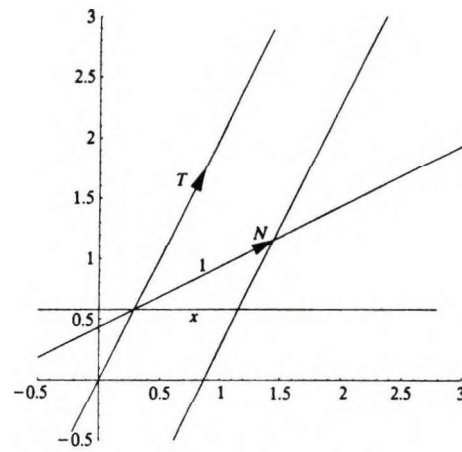
**۲.۴ دو ناظر ساکن در یک چارچوب مرجع شتاب دار**  
فرض کنید  $(\tau, x)$  جهان-خط یک ناظر با چارچوب مرجع فرنه  $\{T(\tau), N(\tau)\}$  است که در آن  $\tau$  ویژه‌زمان، و ناظر دوم نسبت به ناظر اول ساکن است و در فاصله (علامت‌دار)  $\delta$  از او قرار دارد. جهان-خط ناظر دوم را می‌توان به صورت زیر پارامتری کرد

$$\rho(\tau) = \sigma(\tau) + \delta N(\tau)$$

این نمایش پارامتری ویژه‌زمان نیست. اگر فرض کنیم  $s$  پارامتر ویژه‌زمان برای باشد آنگاه

$$\frac{ds}{d\tau} = \left\| \frac{d\rho}{d\tau} \right\| = \|T(\tau) + \delta \kappa(\tau) T(\tau)\| = 1 + \delta \kappa(\tau)$$

وقتی شتاب وجود دارد، ساعتها «سربالا» نندتر کار می‌کند.



شکل ۵ انقباض طول برای ناظرهای لخت

برای حالت اقلیدسی، مرجع [۸، صفحه ۱۱۵] در مورد خمها مجازی را ببینید. شبکه مختصات ناظر متحرك نمونه جالبی از دستگاه مختصات خمیده خطی است که می‌تواند در درس حسابان چندمتغیره به داشجویان آموخته شود. یک تابع همتیکا برای رسم شبکه مختصات ناظران شتابدار را می‌توان در مرجع [۹] یافت.

#### ۱.۴ انقباض طول

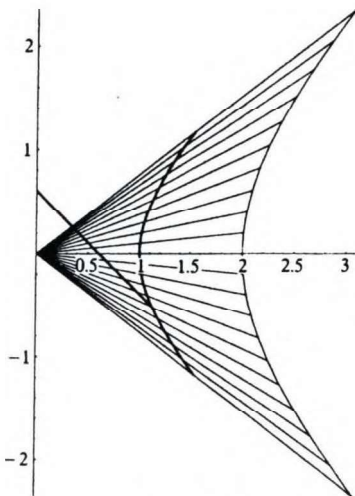
جهان-خط یک ناظر لخت  $(\tau, \kappa) \equiv (\tau, 0)$  که با سرعت  $v$  در  $\mathbb{P}_1$  حرکت می‌کند عبارت است از  $\sigma(\tau) = a + \tau T$  بردار مماس یکه است و  $\nu = v \cdot \tanh(\phi)$ . بردار قائم یکه عبارت است از  $\sigma(\tau) + iN$  که این ناظر لخت با خود حمل می‌کند و از  $T = (\sinh(\phi), \cosh(\phi))$  گسترده است در چارچوب مرجع ناظر برابر  $a$  است. طول آن در چارچوب مرجع آزمایشگاه چقدر است؟

در شکل ۵ طول میله  $x$ ، در زمان  $t$  در چارچوب مرجع آزمایشگاه برابر طول خط افقی ای است که از  $t$ ، واقع بر محور دوم، می‌گذرد یعنی توسط چهان-خطهای دو انتهای میله قطع می‌شود. چون  $T$  بر  $N$  عمود است،  $a$  برایر است با طول تصویر عمودی بردار  $(x, 0)$  بر امتداد  $N$ . با استفاده از فرمول تصویر عمودی داریم

$$a = \frac{\langle (x, 0), N \rangle}{\langle N, N \rangle} = \|(x, 0)\| \|N\| \cosh(\phi) \\ = x \cosh(\tanh^{-1}(\nu)) = \frac{x}{\sqrt{1 - \nu^2}}$$

از این رو،  $x = a\sqrt{1 - \nu^2}$  کوتاهتر از  $a$  است.

اگر  $(\tau, s)$  ناصر باشد، جهان-خطهای مجازی خمیده هستند و هیچ فرمول ساده‌ای برای آنها وجود ندارد. با وجود این، این مسئله با روش‌های عددی حل می‌شود. برای ملاحظه جزئیات محاسبه، مرجع [۹] را ببینید. فرض کنید دوقلوی مسافر پاراکسیس ساعت (بخش ۱.۳) میله‌ای را با خود حمل می‌کند که طول آن به نظر مسافر ثابت است. طول این میله به نظر دوقلوی مانده در منزل چگونه تغییر می‌کند؟



شکل ۷ سرعت نور برای یک ناظر شتاب دار

چون سرعت نور وقتی  $\delta = 0$  برابر ۱ است، ممکن است گفته شود که سرعت نور در «نزدیک» ناظر شتاب دار ثابت است. شکل ۷ نشان می‌دهد که برای ناظر شتاب داری که در چارچوب مرجع آزمایشگاه با سرعت نور در حرکت است چگونه فوتونها می‌توانند کند و متوقف شوند. خم پرنگ، جهان-خط ناظری است که از  $-1 = \tau$  تا  $1 = \tau$  شتابش ثابت و برابر ۱ است (حرکت هذلولوی). این جهان-خط قطعه‌ای از دایره‌ی که در  $\tau = 0$  است. تکینگی این ناظر در مبدأ چارچوب مرجع آزمایشگاه واقع است. دستگاه مختصات ناظر شتاب دار تمامی  $\tau = 0$  را نمی‌پوشاند، بلکه فقط ربع خارج از مخروط نوری به طرف سمت راست مبدأ را می‌پوشاند. پرتوهای آمده از مبدأ، محورهای فضایی لحظه‌ای ناظر شتاب دار هستند. این پرتوها توسط بازه‌های مساوی ویژه‌زمان ناظر شتاب دار از هم جدا شده‌اند.

خط مستقیم پرنگ، جهان-خط فوتون گسیل شده در  $(\tau = 0)$  است. این فوتون در چارچوب مرجع آزمایشگاه در مدت زمان متناهی به  $\tau = 0$  نزدیک می‌شود. برای ناظر شتاب دار، جهان-خط فوتون باید بینهایت از خطهایی را که فاصله آنها به طور موقت برابر است قطع کند و بنابراین هرگز به تکینگی نمی‌رسد. چون فاصله تکینگی از ناظر شتاب دار متناهی است، سرعت باید کند شود.

**۴.۴ موشکهای به هم بسته شده و قطار روی خط آهن**

قطار روی یک خط دایره‌ای را در نظر بگیرید. ما این وضعیت را یک چندضلعی در نظر می‌گیریم که رأسهای آن روی یک دایره ثابت قرار دارند. ابتدا، با إعمال شتاب یکسان به هر رأس، چندضلعی را از حالت سکون به دوران وامی داریم. براساس استدلال نوروود، اصلاح چندضلعی که (نقریباً) در جهت حرکت هستند، باید در چارچوب مرجع آزمایشگاه منقبض شوند. ساعت چندضلعی، که بر راستای حرکت عمود است، منقبض نمی‌شود. از این رو، نسبت محیط به قطر (در بحث نوروود،  $\pi$ ) تغییر می‌کند. توجه کنید که ما به همه رأسها شتاب یکسان می‌دهیم و بنابراین، در چارچوب مرجع آزمایشگاه، فاصله میان آنها نباید کاهش یابد که متناقض با اصل انتقام طول است. نوع راستخط این معما را پارادکس موشکهای به هم بسته می‌گویند.

توجه کنید که وقتی  $\delta$  به تکینگی در  $(\tau = 0)$  نزدیک می‌شود ساعت ناظر دوم، به نظر ناظر اول، کند و سرانجام متوقف می‌شود. بنا به اصل نظریه نسبیت عام اینشتین، ناظر در یک سفینه بدون پنجه در فضای تواند میان شتاب ناشی از موتورهای سفینه خود و شتاب حاصل از میدان گرانشی اجرام نزدیک تمايز قائل شود. از این اصل نتیجه می‌شود که ساعتهای «سربالا» در میدان گرانشی تندتر کار می‌کنند. درستی این گفته به تجربه ثابت شده است.

توجه کنید که اگرچه  $\tau$  ویژه‌زمان  $\rho$  نیست، چارچوب مرجع فرنه در  $(\tau = 0)$  عبارت است از  $\{T(\tau), N(\tau)\}$ . زیرا اینها بردارهای یکه در جهت درست هستند. در نتیجه خمها مختصات فضائگونه برای هر دو ناظر یکسان هستند و خمها مختصات زمان‌گونه دو ناظر فقط در پارامتری سازی با هم متفاوت‌اند. به نظر ناظر لخت، اثرهای انقباض میله، اگر با  $\sigma$  یا با  $\rho$  حمل شوند، یکسان‌اند. اما، تابعهای اینها متفاوت‌اند. در واقع داریم

$$\frac{dT(\tau(s))}{ds} = \frac{dT}{d\tau} \frac{d\tau}{ds} = \frac{\kappa(\tau)}{1 + \delta\kappa(t)} N(\tau)$$

به خصوص، ویژه‌شتاب انتهای پیشین میله که توسط یک ناظر شتاب دار حمل می‌شود، از ویژه‌شتاب انتهای پسین کمتر است. در واقع، ویژه‌شتاب در  $(\tau = 0)$ ، همچنان که  $\delta$  در  $(\tau = 0)$  به تکینگی نزدیک می‌شود، به بینهایت گرایش پیدا می‌کند. این بدان معنی است که لبه پیشین میله که تحت ویژه‌شتابی به بزرگی  $g$  قرار دارد نمی‌تواند ویژه‌طولی بزرگتر از  $g^{-1}$  داشته باشد، زیرا در این صورت می‌شکند. برای توضیح بیشتری در این مورد مراجع [۱۹] و مرجع [۲۰، مسئله ۱۴] را ببینید.

**۴.۵ سرعت نور در یک چارچوب مرجع شتاب دار**

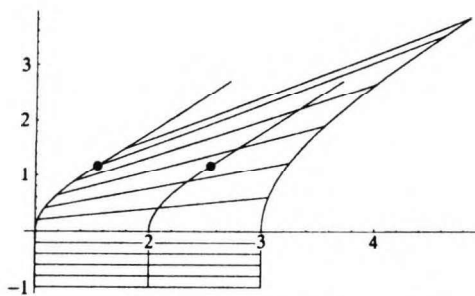
یک اصل اساسی نظریه نسبیت خاص این است که سرعت نور در همه چارچوبهای لخت برابر است. این اصل در مورد ناظرهای شتاب دار معتبر نیست. چارچوب مرجع فرنه تصویر روشنی از این پدیده به دست می‌دهد. فرض کنید  $(\tau, \rho)$  یک ناظر شتاب دار با چارچوب فرنه  $\{T(\tau), N(\tau)\}$  باشد که در آن  $\tau$  ویژه‌زمان است. مسیر مختصات ناظر شتاب دار با رابطه  $\delta(\tau) = \sigma(\tau) + \delta N(\tau)$  داده می‌شود. یک ذره نورگونه در فضای  $\tau$   $\rho(u) = \delta(u)$  چه مسیری را دنبال می‌کند؟ فرض کنید رابطه  $\rho(u) = \delta(u)$  با استفاده از فرمول صورت دوخطی در مختصات  $\delta$  که در بخش ۴ داده شد داریم

$$\left( \frac{du}{d\delta} \right)^2 - (1 + \delta\kappa(\tau))^2 \left( \frac{d\tau}{du} \right)^2 = 0.$$

سرعت ذره برابر است با

$$\frac{d\delta}{d\tau} = \pm (1 + \delta\kappa(\tau))$$

که در آن علامت به جهت بستگی دارد. اگر  $\kappa(\tau) \neq 0$ ، آنگاه سرعت، اگر و فقط اگر  $\delta = 0$  برابر ۱ است. با گرایش  $\delta$  به تکینگی در  $(\tau = 0)$ ، سرعت نور به صفر نزدیک می‌شود.



شکل ۹ دستگاه مختصات دوقلوی شتاب دار سمت چپ

می شود کمتر از  $\sigma_1$  است. دو موشک شتاب یکسانی دارند. در این صورت، میله‌ها از هم جدا خواهند شد.

اگر به همه رأسها شتاب یکسان بدهیم، آنگاه چنانچه اضلاع چندضلعی رابط فیزیکی میان رأسها باشند می‌شوند مگر اینکه شعاع را کم کنیم. اما، در این صورت، قطار از خط خارج می‌شود. شق دیگر این است که فرض کنیم طول اضلاع به صفر می‌رسد و به همه نقاط حلقه حاصل شتاب یکسان بدهیم. در این حالت محیط منقبض نمی‌شود و قطار روی خط باقی می‌ماند.

#### ۴.۵ دوقلوهای با شتاب یکسان

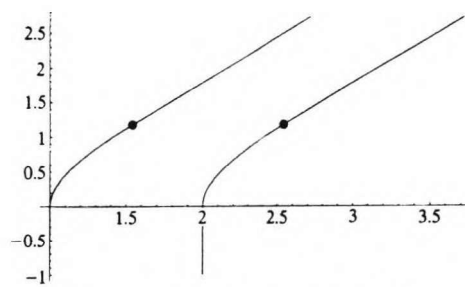
پارادکس دیگری در مورد مطالب بخش ۴.۴ وجود دارد. این پارادکس در مرجع [۲۰، مسئله ۱۳] تحت عنوان پارادکس دوقلوهای با شتاب یکسان بررسی شده است.

فرض کنید خلبانهای دو سفینه دوقلوها هستند. وقتی سفینه‌ها در  $x = 0$  شتاب می‌گیرند دوقلوها دقیقاً همسن هستند. از دید ناظر آزمایشگاه، شتاب دوقلوها یکسان است و سن و سال آنها همواره یکسان باقی می‌مانند. با وجود این، بعد از اینکه سفینه‌ها از نقطه قطع در  $x = \tau$  می‌گذرند هر دو در یک چارچوب مرجع لخت ساکن هستند و می‌ذیرند که دوقلوی سمت راست از دوقلوی سمت چپ پیتر است.

برای اینکه بفهمیم چرا این طور است، شکل ۸ را بر شبکه مختصات دوقلوی دست چپ می‌گذاریم (شکل ۹).

وقتی رویدادهای روی دو جهان-خط در دستگاه مختصات خلبان سمت چپ همزمان‌اند، در چارچوب مرجع آزمایشگاه رویداد سمت راست دیتر از رویداد سمت چپ به وقوع می‌پیوندد. چون دو خلبان در چارچوب مرجع آزمایشگاه همسن و سال هستند، خلبان سمت چپ باید به این نتیجه برسد که خلبان سمت راست از او پیتر است زیرا، در سیستم شتاب دار، خطوط همزنمانی به سمت راست اوج می‌گیرند. به طریق مشابه، خلبان سمت راست نتیجه می‌گیرد که خلبان سمت چپ جوانتر است زیرا خطوط همزنمانی خلبان سمت راست (که در شکل نشان داده نشده است) نیز به طرف راست صعود می‌کند.

این تصویر همچنین ایراد بحث موشکهای به هم بسته را که در [۵] توصیف شده است مشخص می‌کند. بعد از این نتیجه‌گیری که طناب پاره می‌شود، مؤلفان این سؤال را مطرح می‌کنند که وضعیت از دید خلبان سمت چپ چگونه به نظر می‌رسد. با ادامه بحث، در ضمن زمانهای کوتاه‌تر و کوتاه‌تر



شکل ۸ جهان-خطهای موشکهای به هم بسته شده

دو سفینه یکسان در  $x = 1$  و  $x = 2$  ساکن هستند. سپس موشک موشکها شتاب و سرعت نهایی یکسان می‌شود و بعد از خاموش شدن فرض کنید دو سفینه، که در این مثال آنها را بدون بعد فرض می‌کنیم، تابع شتاب مشترکی دارند که در  $1 \leq \tau \leq 2$  همواره برابر  $1$  و در غیر این صورت برابر صفر است. جهان-خطهای حاصل در شکل ۸ رسم شده است. در نقطه‌های روی نمودار، موشکها خاموش‌اند و سفینه‌ها به حالت خلاص پیش می‌روند.

چون تابع انجنا یکسان‌اند و شرایط اولیه  $\sigma_2$  همان شرایط اولیه هستند که یک واحد به سمت راست جابه‌جا شده است، خم دوم نیز همان خم اول است که یک واحد به راست منتقل شده است (قضیه بنیادی خمهای مسطح). به نظر ناظر ساکن در چارچوب مرجع آزمایشگاه، فاصله میان دو سفینه هرگز تغییر نمی‌کند. از این‌رو، هیچ‌گونه کششی به طناب کشیده میان دو سفینه وارد نمی‌شود و طناب دست‌خوردۀ باقی می‌ماند.

اما بعد از خاموش شدن موشکها دو سفینه در یک چارچوب لخت متحرک ساکن هستند و بنابراین، بر اثر انتقام طول، طول طناب در این چارچوب مرجع بلندتر از طول آن قبل از روشن شدن موشکهاست. از این‌رو طناب کشیده می‌شود و اگر میزان کشیدگی بیشتر از حد کشسانی باشد پاره می‌شود. حق با کیست؟ ناظر آزمایشگاه که می‌گوید هیچ فشاری به طناب وارد نمی‌شود یا ناظرهای متحرک که می‌گویند طناب پاره می‌شود؛ بحث‌های مفصل مربوط به این مسئله را می‌توان در مراجعهای [۵]، [۱]، [۳]، [۴]، [۶]، [۱۲]، و [۱۸] یافت.

در بیان مسئله پارادکس معلوم نیست که طناب دقیقاً چگونه شتاب می‌گیرد. اما، بدون توجه به نحوه شتاب طناب، آنچه سالم است این است که لب پسین توسط  $\sigma_1$  و لب پیشین توسط  $\sigma_2$  حمل می‌شود. برای سادگی، به جای طناب از دو میله استفاده می‌کنیم: میله اول از  $x = 0$  تا  $x = 5$  در  $\tau = 0$  گسترده است و توسط  $\sigma_1$  حمل می‌شود و دومی از  $x = 0$  تا  $x = 1$  در  $\tau = 0$  گسترده است و توسط  $\sigma_2$  حمل می‌شود. همچنان که سفینه‌ها شتاب می‌گیرند، ناظر واقع در آزمایشگاه مشاهده می‌کند که انتهای پیشین میله اول به عقب به طرف  $\sigma_1$  و انتهای پسین میله دوم به جلو به طرف  $\sigma_2$  منقبض می‌شود؛ بخش ۱.۴ را ببینید. ناظر آزمایشگاه می‌بیند میله‌ها، که ابتدا با هم در تراس‌اند، از هم جدا می‌شوند. نتیجه می‌گیریم که اگر سرعت نهایی به اندازه کافی زیاد باشد، هر طنابی پاره خواهد شد.

به عبارت دیگر، از بخش ۲.۴ می‌دانیم که شتاب لب پیشین میله که توسط  $\sigma_2$  حمل می‌شود بیشتر از  $\sigma_1$  و شتاب لب پیشین که توسط  $\sigma_1$  حمل

17. Wolfgang Rindler, *Essential Relativity*, revised second edition, Springer-Verlag, New York, 1977.
18. J. E. Romain, A Geometrical Approach to Relativistic Paradoxes, *Amer. J. Physics* **31** (1963) 576-585.
19. Edwin R. Taylor, and A. P. French, Limitation on Proper Length in Special Relativity, *Amer. J. Physics* **51** (1983) 881-893.
20. Edwin Taylor, and John Archibald Wheeler, *Spacetime Physics*, Second Edition, W. H. Freeman and Co., New York, 1992.
21. I. M. Yaglom, *A Simple Non-Euclidean Geometry and its Physical Basis*, Springer-Verlag, New York, Berlin, Heidelberg, 1979.
22. I. M. Yaglom, B. A. Rozenfel'd, and E. U. Yasinskaya, Projective Metrics, *Russian Math. Surveys* **19** (1964) 49-107.

\* \* \* \* \*

- Garry Helzer, "Special relativity with acceleration", *Amer. Math. Monthly*, (3) **107** (2000) 219-237.

\* گری هلزر، دانشگاه مریلند، آمریکا

[gah@math.umd.edu](mailto:gah@math.umd.edu)

شتاب، آنها نتیجه می‌گیرند که شتاب را می‌توان یک «پرش لحظه‌ای» در نظر گرفت. در نتیجه، خلبان سمت چپ «می‌بیند» که ابتدا خلبان سمت راست حرکت می‌کند — چیزی که به صورت آشکار در شکل ۹ غلط است. مسأله این است که «پرش لحظه‌ای»، تکینگی در دستگاه مختصات ناظر شتاب دار را درست تا مبدأ بالا می‌آورد. یک چنین ناظری دیگر دستگاه مختصات ندارد.

## مراجع

1. Graciela S. Birman, and Katsumi Nomizu, Trigonometry in Lorentzian Geometry, *Amer. Math. Monthly* **91** (1984) 543-549.
2. Dario, Costellanos, Making  $\pi$  Equal 3, *Amer. Math. Monthly* **100** (1993) 69.
3. Edmond M. Dewan, Stress Effects due to Lorentz Contraction, *Amer. J. Physics* **31** (1963) 383-386.
4. E. Dewan, and M. Beran, Note on Stress Effects due to Relativistic Contraction, *Amer. J. Physics* **27** (1959) 517-518.
5. George F. R. Ellis, and Ruth M. Williams, *Flat and Curved Space-Times*, Oxford University Press, New York, 1988.
6. Arthur A. Evett, Note on the Separation of Relativistic Moving Rockets, *Amer. J. Physics* **28** (1960) 566.
7. Arthur A. Evett, A Relativistic Rocket Discussion Problem, *Amer. J. Physics* **40** (1972) 1170-1171.
8. Alfred Gray, *Modern Differential Geometry of Curves and Surfaces*, Second Edition, CRC Press, Boca Raton, 1997.
9. Garry Helzer, Relativity and Plane Curves, *Mathematica* notebook, <http://www.math.umd.edu/~gah/Preprints.html>.
10. Charles W. Misner, Kip S. Thorne, and John Archibald Wheeler, *Gravitation*, W. H. Freeman and Co., San Francisco, 1973.
11. Gregory L. Naber, *The Geometry of Minkowski Spacetime*, Applied Mathematical Sciences no. 32, Springer-Verlag, New York, 1992.
12. Paul J. Nawrocki, Stress Effects due to Relativistic Contraction, *Amer. J. Physics* **30** (1962) 771-772.
13. Rick Norwood, How to Make Pi Equal to Three, *Amer. Math. Monthly* **99** (1992) 111.
14. Rick Norwood, More on pi, *Amer. Math. Monthly* **100** (1993) 577.
15. Barret, O'Neill, *Semi-Riemannian Geometry with Applications to Relativity*, Academic Press, New York, 1983.
16. Wolfgang Rindler, *Introduction to Special Relativity*, second edition, Oxford University Press, Oxford, New York, 1991.